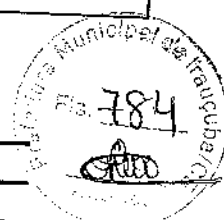


## 6. PERDAS DE CARGA E ALTURA MANOMÉTRICA

### i. Singularidades:

Apresenta-se na planilha a seguir, a quantificação das singularidades consideradas no cálculo das perdas de carga localizadas.



Peça	K	Sucção		Barrilete		Linha	
		Unitária	Total	Unitária	Total	Unitária	Total
Curva de 90 graus	0,40		0,00	2	0,80	5	2,00
Curva de 45 graus	0,20		0,00		0,00	1	0,20
Curva de 22 graus	0,10		0,00		0,00	3	0,30
Curva de 11 graus	0,03		0,00		0,00	6	0,18
Entrada de tubulação	0,50		0,00	1	0,50		0,00
Válvula de retenção	2,50		0,00	1	2,50		0,00
Saída de canalização	1,00		0,00		0,00	1	1,00
Junta de desmontagem	0,50		0,00	1	0,50		0,00
Válvula de gaveta	0,20		0,00	1	0,20		0,00
Tê passagem direta	0,60		0,00	1	0,60	7	4,20
Ampliação	0,30		0,00	1	0,30		0,00
<b>TOTAIS</b>			<b>0,00</b>		<b>5,40</b>		<b>7,88</b>

### ii. Perdas de Carga Totais:

Nas planilhas a seguir apresenta-se o cálculo das perdas de carga distribuídas e localizadas, além das alturas manométricas resultantes, para curva do sistema.

Vazão (l/s)	20 anos								AMT (m) Recalque	
	Perda de carga (m)			Barrilete		Linha		Total		
	Localizada	Distribuída	Total	Loca.	Dist.	Loca.	Dist.			
0,00	0,00	0,00	0,00	0,00	0,00	0,00	0,00	0,00	16,66	
5,00	0,00	0,00	0,00	0,02	0,01	0,03	1,10	1,16	17,82	
10,00	0,00	0,00	0,00	0,09	0,03	0,13	3,86	4,11	20,77	
14,68	0,00	0,00	0,00	0,19	0,06	0,28	7,83	8,36	25,02	
15,00	0,00	0,00	0,00	0,20	0,07	0,29	8,15	8,71	25,37	
18,00	0,00	0,00	0,00	0,29	0,09	0,42	11,44	12,24	28,90	

Para o cálculo da altura manométrica total da(s) bomba(s), somou-se ao desnível geométrico o valor da perda de carga distribuída ao longo da tubulação de recalque e a perda de carga localizada total. O desnível geométrico é dado pela diferença entre a cota mais alta do ponto de recalque e a cota mínima do líquido no poço de sucção.

A altura manométrica total para 20 anos será de : 25,02 mca

Manjory Bandeira Vitti Teixeira,  
Engenheira Civil  
Márcia Oliveira Teixeira  
Engenheira Civil

## 7. CURVAS DO SISTEMA E DA BOMBA

## **Horizonte de 20 años**

Q		AMT (m)		Q	
l/s		Sistema	Bomba	m³/h	
0,0	16,66	30,10		0,0	
5,0	17,82	29,06		18,0	
10,0	20,77	27,33		36,0	
14,7	25,02	25,92		52,8	
15,0	25,37	24,85		54,0	
18,0	28,90	23,29		64,8	

## Curva do sistema

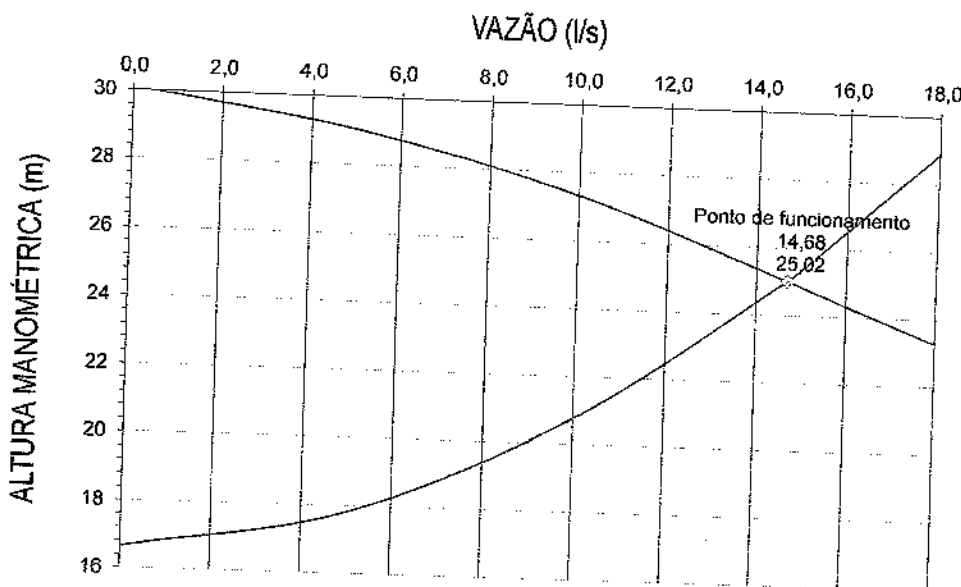
## Curva da bomba

Modelo EBARA-80DLCR67.5

#### Ponto de funcionamento

Q AMT

14,68 25,02



## 7 - CALCULO DA POTÊNCIA DAS BOMBAS

P = Potência instalada para cada conj. motor-bomba da estação elevatória.

**Ft = Fator de serviço**

$Q_{\max} = \text{Vazão de hombeamento, Etapa}$

AMT = Altura Manométrica Total - atm -

Nb = Número de conjuntos restringidos.

**b = Bandwidth of the system**

Posto fumante - 1

#### **Plano de ação**

1,15	
0,01468	$m^3/s$
25,02	m
1	motor(es)
58,62	%
9,61	cv
20	años

Mary Brinkman, wife, Tavares  
1912-1913  
Mary Brinkman, wife, Tavares  
and daughter, Standard 1913, A. M. G.



Os motores elétricos normalmente não possuem a potência especificada, portanto foi necessário utilizar as seguintes potências comerciais:

Potência comercial em cada conjunto motor-bomba da estação elevatória:

10,00	cv
10,00	cv
20	anos

Potência comercial total da estação elevatória:

#### i. Resumo da bomba calculada

Etapa	20 anos
Tipo	submersível
Config.	1+1R
Pot.(KW)	7,35
Pot.(adot-CV)	10,00
Vazão (l/s)	14,68
AMT (m)	25,02
Rendimento	58,62%

#### ii. Determinação do Conjunto Motor-bomba

O conjunto motobomba calculado, a partir das curvas do sistema, é o especificado abaixo:

Em anexo são apresentados os dados técnicos e dimensionais desse conjunto.

OBS: Como a variação da vazão máxima da 1ª para a 2ª etapa é inferior a 20%, adotaremos o dimensionamento para 2ª etapa.

Descrição	20 anos
Tipo	submersível
Config.	3+1R
Pot.(KW)	7,35
Vazão (l/s)	14,68
AMT (m)	25,02
Rotação	1800rpm
Frequencia	60hz
Rendimento	66,68%
Marca/modelo	EBARA-80DLCR67.5

Mangoré Brumaria Sist.灌水  
Mangoré Brumaria Sist.灌水  
Mangoré Brumaria Sist.灌水  
Mangoré Brumaria Sist.灌水

### III. Cálculo do NPSH disponível do Conjunto Motor-bomba

$$NPSH_{disponivel} = \pm H + \frac{P_a - P_v}{\gamma} \times 10 - h_f$$

Oude:

+H – carga ou altura de água na succão (entrada afogada)

-H – altura de aspiração

$P_a$  – pressão atmosférica no local

$P_v$  - pressão de vapor

$\gamma$ - peso específico

$h_c$  soma de todas perdas de carga na succão

Cota da sucção	135,23 m
Cota do nível mínimo no poço	136,03 m
H	0,80 m
Pa (900m alt)	1 kgf/cm <sup>2</sup>
Pv (24 °C)	0,03 kgf/cm <sup>2</sup>
y	1,00 kg/L
hf	0,00 m
NPSHd	9,80 m
NPSHr	3,80 m

#### **8. CALCULO DO VOLUME DO POCO DE SUCCÃO**

O volume útil mínimo do poço de sucção foi determinado, de acordo com a expressão apresentada abaixo, em função do intervalo de tempo entre partidas, que deve ser de no mínimo 10 minutos, valor comumente empregado em projetos do gênero.

#### i. Volume útil

Para o cálculo do volume útil mínimo considerou-se a vazão máxima de final de piano, por representar a situação mais desfavorável em relação ao fornecimento.

$$V_{th} = \frac{Q \cdot T}{A}$$

onde-

Vu : val. ífil mínimo do poco da sucção

$Q$  : vazão de hombeamento ( $\text{m}^3/\text{min.}$ ) -

T : tempo de ciclo ( min ) =

200

100

Com a vazão de bombeamento e um tempo de ciclo de 10 min, temos um volume útil de...

VU ( $m^3$ ) 220

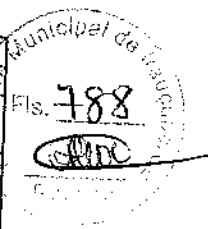
O volume útil de projeto do poço, em função da máxima coluna d'água e da sua projeção horizontal, é calculado segundo a expressão:

$$V_p (m^3) = \{N_{\text{Amáx}} - N_{\text{Amin}}\} \cdot \text{Secção do piso da cunha}$$

onde: Lamura (m)

150

Comp (m)	1,50
Quant	2,00
Seção ( $m^2$ )	4,50
NA máximo:	136,63
NA mínimo:	136,03



Para as condições geométricas definidas temos como resultado o seguinte volume útil de projeto:

$$\underline{V_p \text{ (m}^3\text{)}} \quad 2,70$$

Portanto define-se o volume de útil de projeto acima apresentado, uma vez que satisfaz a condição:

$$V_p > V_u$$

## ii. Volume efetivo

O volume efetivo do poço de sucção é o volume compreendido entre o nível médio de operação das bombas e o fundo do poço, sendo o seguinte:

$$V_e (m^3) = (N_{Amed} - N_{Afundo}) \cdot \text{Seção do poço de sucção}$$

onde: Largura (m):

1,50
1,50
2,00
4,50
136,33
135,23

Comp (m):

Quant

Seção (m<sup>2</sup>):

NA medio:

NA fundo:

$$V_e (m^3) \quad 4,95$$

## iii. Verificação do tempo de detenção

O tempo de detenção é definido pela seguinte expressão:

$$t = \frac{V_e}{Q_m}$$

onde: t: tempo de detenção ( min )

V<sub>e</sub>: vol. efetivo do poço ( m<sup>3</sup> ) =

Q<sub>m</sub>: vazão média ( m<sup>3</sup>/min ) =

$$4,95$$

$$0,45$$

Para os dados de projeto, já definidos e apresentados, o tempo de detenção resulta em:

$$t (\text{min.}): \quad 11,09$$

Portanto o valor obtido é considerado válido por satisfazer a condição:

$$t < 30 \text{ minutos}$$

## iv. Número de Partidas

Para a determinação do tempo entre duas partidas consecutivas, considerou-se:

$$T_p = \frac{V_p}{Q_a} + \frac{V_p}{Q - Q_a}$$

onde: T<sub>p</sub>: tempo de partida ( min )

V<sub>p</sub>: vol. útil projetado do poço ( m<sup>3</sup> )

Q<sub>a</sub>: vazão afluentes ( m<sup>3</sup>/min )

0,45 m<sup>3</sup>/min

Q: vazão de bombeamento ( m<sup>3</sup>/min )

0,88 m<sup>3</sup>/min



Para as vazões mais desfavoráveis, correspondentes à metade das vazões de bombeamento, tem-se os seguintes tempos de partida:

Etapa	Q. bomb.	Tp	N
	(l/s)	(min)	(part./hora)
20 anos	7,34	12,26	4,89



Os tempos de partida resultantes são considerados válidos por satisfazerem a condição:

$T_p > 10$  minutos

#### 9. CALCULO DO DISPOSITIVO DE MEDICAO DE VAZAO

##### i. Cálculo das alturas

Calha parshall adotada

3"

$h_{min}$	0,09 m
$h_{med}$	0,13 m
$h_{max}$	0,20 m

##### ii. Cálculo do Rebaixamento (z)

z

0,05 m

#### 10. CALCULO DA CAIXA DE AREIA

##### i. Largura (b)

b	0,32 m
Largura adotada - 2 canais de	0,35 m

##### ii. Velocidade Media (v)

A velocidade do fluxo adotada na caixa de areia e calha Parshall foi de

0,30 m/s

##### iii. Comprimento (L)

O comprimento da caixa de areia é estimado a partir da velocidade média do fluxo (em torno 0,30m/s) e da velocidade de sedimentação (valor médio para partículas de 0,2mm igual a 0,02m/s) adotando-se um fator de garantia devido ao efeito da turbulência, podendo ser estimado em função de h pela equação  $v1 \cdot h = L \cdot v2$ .

Comprimento adotado	2,00 m
---------------------	--------

Maryony Brantessa Batista Tavares  
Engenheira Civil  
Maryony Brantessa Batista Tavares  
CNPJ: 23.500.110/0001-11

#### iv. Armazenamento de areia



Sugere-se que seja executada a limpeza da caixa de areia a cada 15 dias.

A taxa de areia adotada foi de  $0,040\text{m}^3/1000\text{m}^3$  de esgoto. Sendo assim, tem-se:

Volume de areia a ser removido (VA)

$$VA = 0,386 \text{ m}^3$$

#### v. Profundidade (hd)

hd	0,28 m
hd (adotada)	0,30 m

#### DADOS ANALÍTICOS DA CAIXA DE AREIA

Q (l/s)	h (m)	h - z (m)	S = (h-z) x b (m²)	v (m/s)	
5,54	0,09	0,04	0,0156	0,36	v entre 0,15 e 0,4m/s
7,44	0,13	0,08	0,0296	0,25	v entre 0,15 e 0,4m/s
14,53	0,20	0,15	0,0539	0,27	v entre 0,15 e 0,4m/s

#### vi. Cálculo da Taxa de aplicação Superficial (T)

$$T = 918,31 \text{ m}^3/\text{m}^2 \cdot \text{dia}$$

#### 11. CÁLCULO DO LEITO DE SECAGEM

Volume da Caixa de areia	V	0,21 m³
Altura util do leito	H	0,30 m
Area total necessaria	A=	0,70 m²
Numero de celulas do leito de secagem	N	2 unid
Area necessaria para cada celula	A/N	0,35 m²

Comprimento adotado para cada célula	1,00 m
Largura adotada para cada célula	0,60 m
Área adotada para cada célula	0,60 m²

#### 12. CÁLCULO DA GRADE

##### i. Dados da grade

s = Seção das barras da grade	3/8" x 1/8" mm
I = Espessura das barras	10 mm
d = Espaçamento entre barras	25 mm
Vg = Velocidade através da grade	0,6 m/s
a = inclinação das barras	45 graus
t = tempo de detenção no canal da grade	3 segundos

Manoel Bandeira bat. Franca  
Braga, 1000, Centro, 39300-000  
Fone: (31) 3421-1400  
E-mail: Mbandeira@uol.com.br



As grades são dispositivos formados por barras metálicas, paralelas, de mesma espessura e igualmente espaçadas. Destinam-se à remoção de sólidos grosseiros em suspensão e corpos flutuantes. Tem a finalidade de proteção dos equipamentos do sistema de esgotamento (R. C. Souto - 1990).

Neste projeto, optou-se por uma grade média, com seção transversal de 10mm x 50 mm, com espaçamento de 25 mm e com inclinação de 45° com a horizontal.

## II. Verificação da velocidade do fluxo entre as barras

A área útil é a razão entre a vazão máxima afluente e a velocidade do escoamento entre as barras. Valores ideais para a velocidade do fluxo entre as barras devem estar entre 0,40 e 0,75 m/s.

$$A = \frac{Q}{V_g}$$

Onde:

A = Área útil da grade

Qmáx = Vazão máxima afluente

0,0145 m<sup>3</sup>/s

Vg = Velocidades através da grade

0,6 m/s

O resultado deste cálculo é:

A = Área útil da grade

0,024 m<sup>2</sup>

## III. Cálculo da eficiência da grade

O termo eficiência da grade tem sido expresso pela equação abaixo. Esta eficiência foi tabelada por Azevedo Netto em 1973 e é função da espessura das barras e do afastamento entre elas.

$$E = \frac{d}{d + l}$$

Onde:

E = Eficiência da grade segundo Azevedo Netto

l = Espessura das barras

d = Espaçamento entre barras

10 mm

25 mm

A eficiência assim calculada foi

E = Eficiência da grade segundo Azevedo Netto

0,71

#### IV. Cálculo da área da seção do canal da grade

A área da seção do canal da grade pode ser expressa em função da eficiência das grades.

$$A_c = \frac{A_u}{E}$$

Onde:

$A_c$  = Área da seção do canal da grade

$A_u$  = Área útil da grade

$E$  = Eficiência da grade segundo Azevedo Netto

0,024 m<sup>2</sup>

0,714 mm

Desta forma, a seção do canal da grade terá a seguinte área:

$A_c$  = Área da seção do canal da grade

0,034 m<sup>2</sup>

#### V. Cálculo da velocidade no canal de acesso à grade

A velocidade no canal de acesso à grade pode ser expressa pela equação a seguir:

$$V_o = \frac{Q_{max}}{A_c}$$

Onde:

$V_o$  = Velocidade do fluxo no canal de acesso à grade

$Q_{max}$  = Vazão máxima afluente

0,0145 m<sup>3</sup>/s

$A_c$  = Área da seção do canal da grade

0,03 m<sup>2</sup>

O resultado assim obtido foi:

$V_o$  = Velocidade do fluxo no canal de acesso à grade

0,43 m/s

## vi. Cálculo do comprimento do canal de acesso à grade

Segundo R. C. Souto (1990), o comprimento do canal de acesso deve ser tal que evite o turbilhonamento junto à grade. Este comprimento é função do tempo de detenção adotado para este canal e da vazão média afluente. Ver equação a seguir:

$$L_g = \frac{t \cdot Q_{med}}{A_c}$$

Onde:

$L_g$  = Comprimento do canal de acesso à grade

$Q_{med}$  = Vazão média afluente

$t$  = tempo de detenção no canal da grade

$A_c$  = Área da seção do canal da grade



0,0074 m<sup>3</sup>/s

3 segundos

0,0339 m<sup>2</sup>

Logo o comprimento do canal é:

$L_g$  = Comprimento do canal de acesso à grade

0,658 m

$L_g$  A = Comprimento do canal de acesso à grade Adotado

0,900 m

## vii. Perda de carga na grade

Segundo E. P. Jordão (1995), a determinação da perda de carga na grade de barras deverá considerar o modelo selecionado, o tipo de operação de limpeza, localização e detalhes construtivos. A perda de carga pode ser calculada considerando-se que o comportamento hidráulico é idêntico ao escoamento através de orifício. Ver equação a seguir:

$$h_f = 1,43 \times \frac{V_g^2 - V_o^2}{2g}$$

Onde:

$h_f$  = Perda de carga na grade:

$V_g$  = Velocidade através da grade

0,6 m/s

$V_o$  = Velocidade do fluxo no canal de acesso à grade

0,43 m/s

$g$  = Aceleração da gravidade

9,81 m/s<sup>2</sup>

A perda de carga na grade assim calculada é:

$h_f$  = Perda de carga na grade:

0,01285 m

Como a limpeza da grade vai ser manual foi adotada  $h_f$  mínima de 0,15m.

*Maryony Brumback Belo Teixeira  
Engenheira Civil  
Mestrado em Engenharia Civil  
E-mail: maryonybeloteixeira@gmail.com.br*

### viii. Largura teórica do canal de acesso à grade

A largura teórica do canal da grade é função da área do canal e da altura máxima da caixa de areia.  
Ver equação a seguir:

$$b_g = \frac{A_c}{H_{max} - Z}$$

795  
Sexta

Onde:

$b_g$  = Largura teórica do canal de acesso à grade

$A_c$  = Área da seção do canal da grade

0,034 m<sup>2</sup>

$H_{max}$  = Altura máxima da lâmina d'água na calha Parshall

0,20 m

$Z$  = Rebaixo da garganta da calha Parshall

0,05 m

O resultado deste cálculo é:

$b_g$  = Largura teórica do canal de acesso à grade

0,22 m

$b_g A$  = Largura do canal de acesso à grade Adotado

0,30 m

### ix. Número de barras na grade

O número de barras na grade é função da largura do canal da grade, da espessura da barra e do afastamento entre elas. Ver equação abaixo:

$$N = \frac{b_g - d}{l + d}$$

Onde:

$N$  = Número de barras na grade

$b_g A$  = Largura do canal de acesso à grade adotada

300,00 mm

$l$  = Espessura das barras

10 mm

$d$  = Espaçamento entre barras

25 mm

O resultado deste cálculo é:

$N$  = Número de barras na grade

8 barras

Maryony Brancina Neto, Fazenda  
Ribeirão das Neves, MG  
Maryony Brancina Neto, Engenheiro  
Civil, Mestrado em Engenharia Civil

#### **x. Largura real do canal de acesso à grade**

A princípio, calcula-se a largura teórica do canal da grade para se obter o número de barras. Após esta etapa, com o número de barras calculado, a espessura da cada barra e o espaçamento entre elas, pode se obter a largura real do canal. Vale salientar que esta largura deve ser maior que o diâmetro da tubulação de chegada.

$$B_g = N \cdot (l + d) + d$$



Onde:

Bg = Largura real do canal da grade

N = Número de barras na grade

l = Espessura das barras

8 barras

10 mm

25 mm

d = Espaçamento entre barras

A largura do canal da grade será:

Bg = Largura real do canal da grade

302 mm

#### **xi. Resumo**

s = Seção das barras da grade

3/8"x1/8" mm

d = Espaçamento entre barras

25 mm

a = inclinação das barras

45 graus

Lg = Comprimento do canal de acesso à grade

0,900 m

Bg = Largura real do canal da grade

302 mm

N = Número de barras na grade

8 barras



## 5.0 - TRANSIENTE HIDRÁULICO – LINHA DE RECALQUE 02

O diagnóstico das pressões transientes extremas foi realizado considerando-se a manobra de desligamento súbito dos conjuntos elevatórios. Esta manobra é a mais desfavorável do ponto de vista das pressões extremas. A manobra de arranque dos grupos pode ser realizada de forma controlada enquanto que o desligamento é muitas vezes involuntário, resultante da falta de energia elétrica nos motores.

Os resultados das simulações realizadas são apresentados de forma gráfica a seguir, através das envoltórias de cargas extremas ao longo sistema. Através dos resultados conclui-se que se não houverem dispositivos de proteção ocorrerão depressões ao longo da linha de recalque e que estas depressões atingirão a pressão de vapor da água.

É indispensável a implantação de dispositivos de proteção para garantir a segurança do sistema frente aos transientes hidráulicos, sobretudo para atenuar as depressões que ocorrerão na linha.

As ventosas quadrifunção deverão ser instaladas nas estacas:

- 4+0,00;
- 9+0,00;
- 18+10,00;
- 28+0,00.



DOCUMENTO : PROJETO :  
Projeto Hidráulico Arqueológico  
DATA : 01/12/2022  
REVISÃO : 1  
FOLHAS: 2

SISTEMA DE ESGOTAMENTO SANITÁRIO DA SEDE DO MUNICÍPIO DE IRAUÇURA

Juta Barrus

Porto Alegre

200.000

180.000

160.000

140.000

100.000

0 16 32 48 64 80 96 112 128 144 160 176 192 208 224 240 256 272 288 304 320 336 368 384 400 416 432 448 464 480 496 512 528 543 559 575 591 607 623 639 655 671 687 703 719

Transferência de fôrma de recolhimento 02

COTA PIRÔMETRICA	PERMANENTE X			PERMANENTE Y			PERMANENTE Z			PRESSO		
	MÁXIMO X	MÍNIMO X	MÁXIMO Y	MÍNIMO Y	MÁXIMO Z	MÍNIMO Z	MÁXIMO X	MÍNIMO X	MÁXIMO Y	MÍNIMO Y	MÁXIMO Z	MÍNIMO Z
PERMANENTE X PERMANENTE Y MÍNIMO Z	0,00	166,98	162,88	143,01	13,05	0,00	18,64	0,00	-0,03	143,040	0,00	143,004
15,98	166,00	15,98	162,86	15,98	143,05	15,98	10,84	15,98	17,70	20,000	145,885	0,000
31,97	165,91	15,97	163,09	31,97	143,02	31,97	10,47	31,97	17,66	40,000	145,853	20,000
47,95	155,52	47,95	163,09	47,95	142,93	47,95	10,72	47,95	17,93	60,000	144,855	40,000
63,94	155,73	63,94	162,79	63,94	143,42	63,94	10,94	63,94	18,00	63,94	13,97	60,000
79,92	155,64	79,92	162,78	79,92	144,53	79,92	11,12	79,92	18,26	80,000	144,826	80,000
95,91	155,55	95,91	162,75	95,91	143,61	95,91	10,65	95,91	18,04	95,91	10,03	100,000
111,89	155,17	111,89	162,77	111,89	143,79	111,89	10,28	11,89	17,48	144,753	80,000	134,925
127,88	155,38	127,88	162,32	127,88	143,94	127,88	9,69	127,88	16,74	145,487	160,000	134,753
143,86	155,29	143,86	162,32	143,86	144,06	143,86	9,01	143,86	16,04	146,216	120,000	135,487
159,85	155,10	159,85	162,19	159,85	144,20	159,85	8,69	159,85	16,67	159,85	14,000	135,219
175,83	155,11	175,83	162,24	175,83	146,46	175,83	8,96	175,83	15,78	175,83	2,32	160,000
191,82	155,02	191,82	162,24	191,82	143,34	191,82	8,96	191,82	15,56	191,82	0,00	135,525
207,80	155,93	207,80	161,28	207,80	145,30	207,80	9,05	207,80	14,38	207,80	146,816	180,000
223,79	154,95	223,79	162,92	223,79	143,50	223,79	7,75	223,79	13,85	223,79	3,56	220,000
239,77	154,76	239,77	160,94	239,77	144,48	239,77	7,44	239,77	13,85	239,77	-3,46	220,000
255,76	154,67	255,76	160,98	255,76	144,44	255,76	6,92	255,76	13,23	255,76	-2,87	240,000
271,74	154,58	271,74	161,01	271,74	144,40	271,74	6,57	271,74	12,98	271,74	-3,31	240,000
287,73	154,49	287,73	161,04	287,73	144,36	287,73	6,37	287,73	12,92	287,73	-3,61	240,000
303,71	154,40	303,71	161,04	303,71	144,33	303,71	6,28	303,71	12,92	303,71	-3,76	240,000
319,70	154,31	319,70	161,05	319,70	144,29	319,70	6,19	319,70	12,92	319,70	-3,80	240,000
335,68	154,23	335,68	161,09	335,68	144,25	335,68	6,10	335,68	12,86	335,68	-3,83	240,000
351,67	154,14	351,67	161,10	351,67	144,54	351,67	6,02	351,67	12,88	351,67	-3,87	240,000
367,65	154,05	367,65	161,11	367,65	145,12	367,65	5,93	367,65	12,98	367,65	-3,88	240,000
383,64	153,96	383,64	161,10	383,64	145,43	383,64	5,81	383,64	12,95	383,64	-3,90	240,000
399,62	153,87	399,62	161,10	399,62	145,42	399,62	5,58	399,62	12,91	399,62	-2,92	240,000
415,61	153,78	415,61	161,11	415,61	145,70	415,61	4,97	415,61	12,39	415,61	-2,87	400,000
431,59	153,69	431,59	161,13	431,59	145,34	431,59	4,35	431,59	11,79	431,59	-3,12	420,000
447,58	153,61	447,58	161,15	447,58	145,51	447,58	3,98	447,58	11,59	447,58	-3,09	440,000
463,56	153,52	463,56	161,16	463,56	146,73	463,56	3,86	463,56	11,50	463,56	-2,93	440,000
479,55	153,43	479,55	181,18	479,55	147,03	479,55	3,58	479,55	11,32	479,55	-2,84	460,000
495,53	153,34	495,53	161,20	495,53	147,04	495,53	3,23	495,53	11,09	495,53	-3,07	500,000

Manoel Henrique da Mota  
Assessor Técnico - Engenheiro Civil  
Mestrado em Engenharia Civil - UFSC  
E-mail: manoel.henrique@ufsc.br

139.370

500.000

140.182

500.000

500.000

500.000

500.000

500.000

500.000

500.000

500.000

500.000

500.000

500.000

500.000

500.000

500.000

500.000

500.000

500.000

500.000

500.000

500.000

500.000

500.000

500.000

500.000

500.000

500.000

500.000

500.000

500.000

500.000

500.000

500.000

500.000

500.000

500.000

500.000

500.000

500.000

500.000

500.000

500.000

500.000

500.000

500.000

500.000

500.000

500.000

500.000

500.000

500.000

500.000

500.000

500.000

500.000

500.000

500.000

500.000

500.000

500.000

500.000

500.000

500.000

500.000

500.000

500.000

500.000

500.000

500.000

500.000

500.000

500.000

500.000

500.000

500.000

500.000

500.000

500.000

500.000

500.000

500.000

500.000

500.000

500.000

500.000

500.000

500.000

500.000

500.000

500.000

500.000

500.000

500.000

500.000

500.000

500.000

500.000

500.000

500.000

500.000

500.000

500.000

500.000

500.000

500.000

500.000

500.000

500.000

500.000

500.000

500.000

500.000

500.000

500.000

500.000

500.000

500.000

500.000

500.000

500.000

500.000

500.000

500.000

500.000

Managing Freshness, Safety, Fairness  
and Efficiency in Supply Chains  
Edited by Michael H. G. Dierckx  
and Michael J. Schaefer

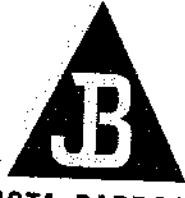


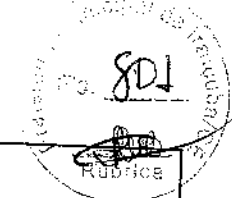


## 6.0 - ESTAÇÃO ELEVATÓRIA E LINHA DE RECALQUE 03



*Maryjane Brumley, Enviada Especial*  
Maryjane Brumley, Enviada Especial  
Maryjane Brumley, Enviada Especial

 <b>JOTA BARROS</b> PROJETOS E ASSESSORIA	<b>DOCUMENTO :</b> Projeto Hidráulico, Arquitetônico e Civil	<b>PROJETO :</b> <b>SISTEMA DE ESGOTAMENTO SANITÁRIO DA SEDE DO MUNICÍPIO DE IRAUÇUBA</b>
	<b>DATA :</b> 30/10/2023	
	<b>REVISÃO :</b> 1	<b>DESCRÍÇÃO :</b> Dimensionamento da Estação Elevatória de Esgoto EEE 03 no município de Irauçuba - Bacia C (2023-2043)
	<b>FOLHAS:</b> 15	



## 1. RESUMO

Estão apresentados a seguir os resultados do dimensionamento para o Poço de Sucção, Estação Elevatória e Linha de Recalque. Os valores a serem adotados são os que seguem:

### i - Poço de Sucção

Volume	9,60 m <sup>3</sup>
Área	8,00 m <sup>2</sup>
Cota do NA maximo	142,13 m
Cota do NA minimo	140,93 m
Tempo de Detenção Máximo	9,05 minutos
Número Máximo de Partidas do Motor por Hora	5,31 partidas/hora

### ii - Estação Elevatória

Número de Bombas Funcionando Simultaneamente (1)	20 anos
Vazão em cada conjunto Motor-Bomba	1,00 bomba(s)
Vazão Total da Estação Elevatória	56,73 l/s
Altura Manométrica Total	56,73 l/s
Rendimento do Sistema	20,17 m
Potência Comercial de cada Conjunto Motor-Bomba	61,95%
Potência Comercial da Estação Elevatória	40,00 cv
	40,00 cv

### iii - Linha de Recalque

Material da Tubulação	PVC DEFoFo
Vazão na Tubulação	56,73 l/s
Comprimento da Tubulação	2520,92 m
Diâmetro da Tubulação	250 mm

### iv - Tratamento preliminar

Dimensões do canal de acesso à grade	(BxL)	0,41	x	0,90	m
Inclinação da grade					
Dimensões da caixa de areia	2 canais de (BxLxH)	0,60	x	3,50	x
Dimensões do leito de secagem:	2 células de (BxLxH)	0,60	x	2,50	x
Calha parshall adotada					0,40 m
<i>Margutti Brumera, Lda. Ltda.</i>					0,30 m
<i>Projeto e Execução de Projetos</i>					
<i>Lda. Ltda. - Consultoria e Construção</i>					

## 2. VAZÕES AFLUENTES

As vazões afluentes à elevatória EE-03, relativas à sub-bacia de esgotamento C, são as abaixo apresentadas:



ETAPA	ANO	VAZÃO (l/s)		VAZÃO (m³/h)		VAZÃO (l/s)	
		Média	Máx.	Média	Máx.	Min.	adotada
0	2023	20,42	40,70	73,51	146,52	16,49	16,49
10 ANOS	2033	24,50	48,04	88,20	172,94	18,53	18,53
20 ANOS	2043	29,47	56,99	106,09	205,16	21,01	21,01

## 3. SELEÇÃO DOS DIÂMETROS

Os diâmetros das tubulações foram selecionados a partir da fórmula de Bresse, sendo os diâmetros do barrilete e linha de recalque adotados em função de uma melhor condição de velocidade, considerando o limite de 3,0 m/s para o barrilete e 2,5m/s para a linha de recalque, bem como em função do limite de perda de carga unitária (J) de 0,008 m/m, conforme abaixo:

Trecho	D analisado (mm)	Velocidade (m/s)		J (m/m)	D adotado (mm)
		20 ANOS			
Barrilete	200	1,81		0,0144	250
	250	1,16		0,0049	
Linha de recalque	200	1,81		0,0144	250
	250	1,16		0,0049	

## 4. DADOS DAS TUBULAÇÕES

Trecho	D (mm)	Material	Coef. rugosidade-K (mm)		Extensão (m)
			Inicial	Final	
Barrilete	250	fofo	0,25	0,30	10,67
Linha	250	defofa	0,06	0,06	2520,92

## 5. NÍVEIS DE PROJETO

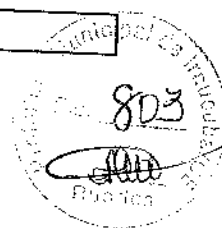
Terreno na elevatória:	145,30 m
Cota de fundo do PV de chegada	142,86 m
Cota mais alta da linha de recalque:	148,74 m
NA máximo no poço:	142,13 m
NA mínimo no poço:	140,93 m
Desnível geométrico (recalque):	7,81 m
Nível do fundo do poço:	139,53 m

Manoel Bandeira Barreto  
Engenheiro Civil  
Manoel Bandeira Barreto  
Engenheiro Civil

## 6. PERDAS DE CARGA E ALTURA MANOMETRICA

### i. Singularidades:

Apresenta-se na planilha a seguir, a quantificação das singularidades consideradas no cálculo das perdas de carga localizadas.



Peça	K	Sucção		Barrilete		Linha	
		Unitária	Total	Unitária	Total	Unitária	Total
Curva de 90 graus	0,40		0,00	2	0,80	8	3,20
Curva de 45 graus	0,20		0,00		0,00	5	1,00
Curva de 22 graus	0,10		0,00		0,00	5	0,50
Curva de 11 graus	0,03		0,00		0,00	9	0,27
Entrada de tubulação	0,50		0,00	1	0,50		0,00
Válvula de retenção	2,50		0,00	1	2,50		0,00
Saída de canalização	1,00		0,00		0,00	1	1,00
Junta de desmontagem	0,50		0,00	1	0,50		0,00
Válvula de gaveta	0,20		0,00	1	0,20		0,00
Té passagem direta	0,60		0,00	1	0,60	2	1,20
Ampliação	0,30		0,00	1	0,30		0,00
<b>TOTAIS</b>			<b>0,00</b>		<b>5,40</b>		<b>7,17</b>

### ii. Perdas de Carga Totais:

Nas planilhas a seguir apresenta-se o cálculo das perdas de carga distribuídas e localizadas, além das alturas manométricas resultantes, para curva do sistema.

Vazão (l/s)	20 anos								AMT (m) Recalque	
	Perda de carga (m)			Barrilete		Linha		Total		
	Localizada	Distribuída	Total	Local.	Dist.	Local.	Dist.			
0,00	0,00	0,00	0,00	0,00	0,00	0,00	0,00	0,00	7,81	
20,00	0,00	0,00	0,00	0,05	0,01	0,06	1,63	1,75	9,56	
40,00	0,00	0,00	0,00	0,18	0,03	0,24	5,92	6,38	14,19	
56,73	0,00	0,00	0,00	0,37	0,06	0,49	11,44	12,36	20,17	
60,00	0,00	0,00	0,00	0,41	0,07	0,55	12,73	13,76	21,57	
80,00	0,00	0,00	0,00	0,73	0,12	0,97	22,02	23,85	31,66	
100,00	0,00	0,00	0,00	1,14	0,19	1,52	33,79	36,64	44,45	

Para o cálculo da altura manométrica total da(s) bomba(s), somou-se ao desnível geométrico o valor da perda de carga distribuída ao longo da tubulação de recalque e a perda de carga localizada total. O desnível geométrico é dado pela diferença entre a cota mais alta do ponto de recalque e a cota mínima do líquido no poço de sucção.

A altura manométrica total para 20 anos será de : 20,17 mca

*Maryony Brumback Barbosa Trivinho*  
Engenheira Civil  
Mestranda em Engenharia Civil  
CNPQ-Auxiliar de Pesquisa - Mestrado

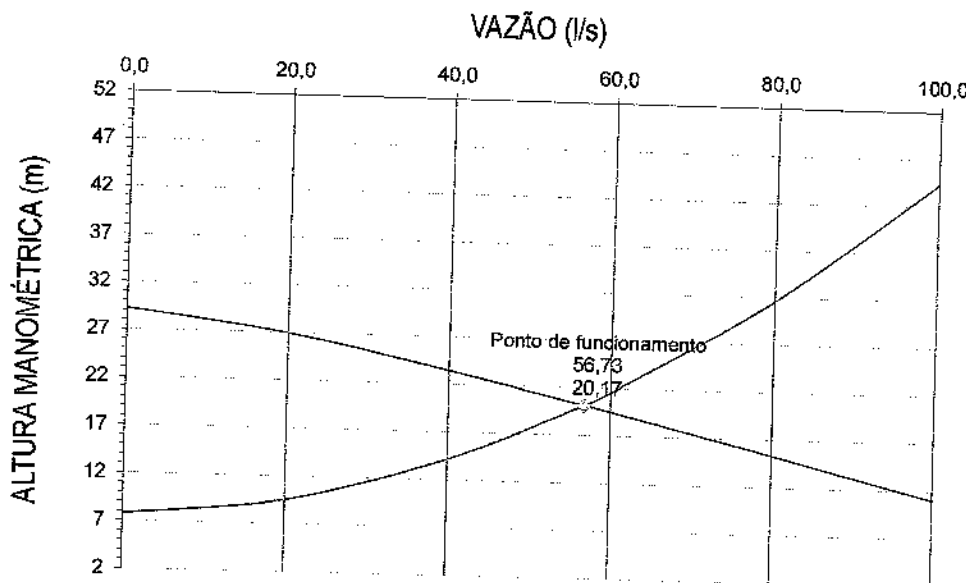


## 7. CURVAS DO SISTEMA E DA BOMBA

Horizonte de 20 anos

Q l/s	AMT (m)		Q m³/h
	Sistema	Bomba	
0,0	7,81	29,25	0,0
20,0	9,56	27,00	72,0
40,0	14,19	23,41	144,0
56,7	20,17	20,17	204,2
60,0	21,57	19,54	216,0
80,0	31,66	15,39	288,0
100,0	44,45	11,09	360,0

Curva do sistema  
Curva da bomba  
Modelo EBARA-200DL630  
Ponto de funcionamento  
Q AMT  
56,73 20,17



## 7. CÁLCULO DA POTÊNCIA DAS BOMBAS

P = Potência instalada para cada conj. motor-bomba da estação elevatória

Ft = Fator de serviço

Qmáx = Vazão de bombeamento Etapa

AMT = Altura Manométrica Total etapa

Nb = Número de conjuntos motor-bomba em funcionamento simultâneo

h = Rendimento do conjunto motor-bomba

Desta forma, tem-se que a potência instalada em cada conjunto motor-bomba é igual à:

Pb = Potência instalada para a bomba

1,10	
0,05673	m³/s
20,17	m
1	motor(es)
61,95	%
27,09	cv
20	anos

Mário G. Brantano - Eng. Técnico  
Engenheiro de Sistemas  
Mário G. Brantano e Cia Ltda  
Av. Presidente Dutra, 1000 - Centro  
CEP 01030-000 - São Paulo - SP - Brasil

Os motores elétricos normalmente não possuem a potência especificada, portanto foi necessário utilizar as seguintes potências comerciais:

Potência comercial em cada conjunto motor-bomba da estação elevatória:

Potência comercial total da estação elevatória:

40,00	cv
40,00	cv
20	anos



#### i. Resumo da bomba calculada

Etapa	20 anos
Tipo	submersível
Config.	1+1R
Pot.(KW)	29,41
Pot.(adot-CV)	40,00
Vazão (l/s)	56,73
AMT (m)	20,17
Rendimento	61,95%

#### ii. Determinação do Conjunto Motor-bomba

O conjunto motobomba calculado, a partir das curvas do sistema, é o especificado abaixo:

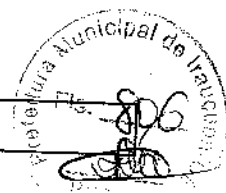
Em anexo são apresentados os dados técnicos e dimensionais desse conjunto.

OBS: Como a variação da vazão máxima da 1ª para a 2ª etapa é inferior a 20%, adotaremos o dimensionamento para 2ª etapa.

Descrição	20 anos
Tipo	submersível
Config.	3+1R
Pot.(KW)	29,41
Vazão (l/s)	56,73
AMT (m)	20,17
Rotação	1800rpm
Frequencia	60hz
Rendimento	61,95%
Marca/modelo	EBARA-200DL630

Manoel Brumbaro Neto, Técnico  
MMA/Ministério da Saúde  
Manoel Brumbaro Neto, Engenheiro  
Engenheiro Civil - Especialista em Hidráulica

iii. Cálculo do NPSH disponível do Conjunto Motor-bomba



$$NPSH_{disponivel} = +H + \frac{P_a - P_v}{\gamma} \times 10 - h_f$$

Onde:

+H – carga ou altura de água na sucção (entrada afogada)

-H – altura de aspiração

P<sub>a</sub> – pressão atmosférica no local

P<sub>v</sub> – pressão de vapor

$\gamma$  – peso específico

h<sub>f</sub> – soma de todas perdas de carga na sucção

Cota da sucção	139,53 m
Cota do nível mínimo no poço	140,93 m
H	1,40 m
P <sub>a</sub> (900m alt)	1 kgf/cm <sup>2</sup>
P <sub>v</sub> (24 °C)	0,03 kgf/cm <sup>2</sup>
$\gamma$	1,00 kg/L
hf	0,00 m
NPSHd	10,40 m
NPSHr	m

### 8. CÁLCULO DO VOLUME DO POÇO DE SUCÇÃO

O volume útil mínimo do poço de sucção foi determinado, de acordo com a expressão apresentada abaixo, em função do intervalo de tempo entre partidas, que deve ser de no mínimo 10 minutos, valor comumente empregado em projetos do gênero.

#### i. Volume útil

Para o cálculo do volume útil mínimo considerou-se a vazão máxima de final de plano, por representar a situação mais desfavorável em relação ao tempo de ciclo.

$$V_u = \frac{Q \cdot T}{4}$$

onde:  $V_u$  : vol. útil mínimo do poço de sucção

Q : vazão de bombeamento (m<sup>3</sup>/min) =

3,40

T : tempo de ciclo (min) =

10,0

Com a vazão de bombeamento e um tempo de ciclo de 10 min. temos um volume útil de:

$V_u$  (m<sup>3</sup>) 8,51

O volume útil de projeto do poço, em função da máxima coluna d'água e da sua projeção horizontal, é calculado segundo a expressão:

$$V_p (\text{m}^3) = (NAmáx - NAmín) \cdot \text{Seção do poço de sucção}$$

onde: Largura (m) 2,00

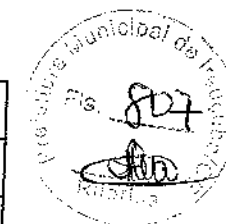
Manoel Brumbaro bat. Tavares

06/06/2016

Manoel Brumbaro bat. Tavares

Foto: Anderson Vitorino Alves

Comp (m)	2,00
Quant	2,00
Seção ( $m^2$ )	8,00
NA máximo:	142,13
NA mínimo:	140,93



Para as condições geométricas definidas temos como resultado o seguinte volume útil de projeto:

$$\underline{V_p (m^3)} \quad 9,60$$

Portanto define-se o volume de útil de projeto acima apresentado, uma vez que satisfaz a condição:  
 $V_p > V_u$

Maryny Brantone Batista Tavares  
 Engenheira Civil  
 Mestranda em Engenharia Civil  
 Especialização em Engenharia Civil  
 Especialização em Engenharia Civil

## ii. Volume efetivo

O volume efetivo do poço de sucção é o volume compreendido entre o nível médio de operação das bombas e o fundo do poço, sendo o seguinte:

$$V_e (m^3) = (N_{A\text{med}} - N_{A\text{fundo}}) \cdot \text{Seção do poço de sucção}$$

onde: Largura (m):

2,00

Comp (m):

2,00

Quant:

2,00

Seção ( $m^2$ ):

8,00

NA medio:

141,53

NA fundo:

139,53

$$V_e (m^3) \quad 16,00$$

## iii. Verificação do tempo de detenção

O tempo de detenção é definido pela seguinte expressão:

$$t = \frac{V_e}{Q_m}$$

onde:

t: tempo de detenção ( min )

V<sub>e</sub>: vol. efetivo do poço (  $m^3$  ) =

16,00

Q<sub>m</sub>: vazão média (  $m^3/min$  ) =

1,77

Para os dados de projeto, já definidos e apresentados, o tempo de detenção resulta em:

$$t (\text{min.}): \quad 9,05$$

Portanto o valor obtido é considerado válido por satisfazer a condição:

$$t < 30 \text{ minutos}$$

## iv. Número de Partidas

Para a determinação do tempo entre duas partidas consecutivas, considerou-se:

$$T_p = \frac{V_p}{Q_a} + \frac{V_p}{Q - Q_a}$$

onde:

T<sub>p</sub>: tempo de partida ( min )

V<sub>p</sub>: vol. útil projetado do poço (  $m^3$  )

Q<sub>a</sub>: vazão afluente (  $m^3/min$  )

1,77  $m^3/min$

Q: vazão de bombeamento (  $m^3/min$  )

3,40  $m^3/min$

Para as vazões mais desfavoráveis, correspondentes à metade das vazões de bombeamento, tem-se os seguintes tempos de partida:



Etapa	Q. bomb.	Tp	N
	(l/s)	(min)	(part./hora)
20 anos	28,37	11,30	5,31

Os tempos de partida resultantes são considerados válidos por satisfazerem a condição:

$T_p > 10$  minutos

## 9. CALCULO DO DISPOSITIVO DE MEDICAO DE VAZAO

### i. Cálculo das alturas

Calha parshall adotada

3"

$h_{\min}$	0,22 m
$h_{\text{med}}$	0,31 m
$h_{\max}$	0,48 m

### ii. Cálculo do Rebaixamento (z)

z

0,11 m

## 10. CALCULO DA CAIXA DE AREIA

### i. Largura (b)

b	0,51 m
Largura adotada - 2 canais de	0,60 m

### ii. Velocidade Média (v)

A velocidade do fluxo adotada na caixa de areia e calha Parshall foi de

0,30 m/s

### iii. Comprimento (L)

O comprimento da caixa de areia é estimado a partir da velocidade média do fluxo (em torno 0,30m/s) e da velocidade de sedimentação (valor médio para partículas de 0,2mm igual a 0,02m/s) adotando-se um fator de garantia devido ao efeito da turbulência, podendo ser estimado em função de h pela equação  $v_1 \cdot h = L \cdot v_2$ .

Comprimento adotado 3,50 m

*Maryony Prudêncio Batti Tostoso  
Engenheiro Civil  
Maryony Prudêncio Batti Tostoso  
CNPJ: 07.330.100/0001-11*

#### iv. Armazenamento de areia

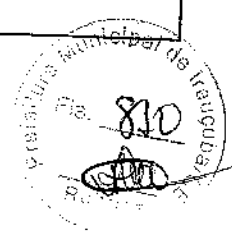
Sugere-se que seja executada a limpeza da caixa de areia a cada 15 dias.

A taxa de areia adotada foi de  $0,040\text{m}^3/1000\text{m}^3$  de esgoto. Sendo assim, tem-se:

Volume de areia a ser removido (VA)

VA

$1,528 \text{ m}^3$



#### v. Profundidade (hd)

hd	0,36 m
hd (adotada)	0,40 m

#### DADOS ANALÍTICOS DA CAIXA DE AREIA

Q (l/s)	h (m)	h - z (m)	$S = (h-z) \times b (\text{m}^2)$	v (m/s)	
21,01	0,22	0,11	0,0671	0,31	v entre 0,15 e 0,4m/s
29,47	0,31	0,20	0,1211	0,24	v entre 0,15 e 0,4m/s
56,99	0,48	0,37	0,2246	0,25	v entre 0,15 e 0,4m/s

#### vi. Cálculo da Taxa de aplicação Superficial (T)

T

$1212,48 \text{ m}^3/\text{m}^2.\text{dia}$

#### 11. CÁLCULO DO LEITO DE SECAGEM

Volume da Caixa de areia	V	0,84 m <sup>3</sup>
Altura util do leito	H	0,30 m
Area total necessaria	A=	2,80 m <sup>2</sup>
Numero de celulas do leito de secagem	N	2 unid
Area necessaria para cada célula	A/N	1,40 m <sup>2</sup>

Comprimento adotado para cada célula	2,50 m
Largura adotada para cada célula	0,60 m
Área adotada para cada célula	1,50 m <sup>2</sup>

#### 12. CÁLCULO DA GRADE

##### I. Dados da grade

s = Seção das barras da grade

$3/8'' \times 1/8''$  mm

l = Espessura das barras

10 mm

d = Espaçamento entre barras

25 mm

Vg = Velocidade através da grade

0,6 m/s

a = inclinação das barras

45 graus

t = tempo de detenção no canal da grade

3 segundos

Maryony Pinheiro Batista Teixeira  
PROFESSORA DE TECNOLOGIA  
Engenheira Civil e Civil  
e-mail: mpinheiro@protonmail.com.br



As grades são dispositivos formados por barras metálicas, paralelas, de mesma espessura e igualmente espaçadas. Destinam-se à remoção de sólidos grosseiros em suspensão e corpos flutuantes. Tem a finalidade de proteção dos equipamentos do sistema de esgotamento (R. C. Scuto - 1990).

Neste projeto, optou-se por uma grade média, com seção transversal de 10mm x 50 mm, com espaçamento de 25 mm e com inclinação de 45° com a horizontal.

### ii. Verificação da velocidade do fluxo entre as barras

A área útil é a razão entre a vazão máxima afluente e a velocidade do escoamento entre as barras. Valores ideais para a velocidade do fluxo entre as barras devem estar entre 0,40 e 0,75 m/s.

$$A = \frac{Q}{V_g}$$

Onde:

A = Área útil da grade

Qmáx = Vazão máxima afluente

Vg = Velocidades através da grade

0,0570 m<sup>3</sup>/s

0,6 m/s

O resultado deste cálculo é:

A = Área útil da grade

0,095 m<sup>2</sup>

### iii. Cálculo da eficiência da grade

O termo eficiência da grade tem sido expresso pela equação abaixo. Esta eficiência foi tabelada por Azevedo Netto em 1973 e é função da espessura das barras e do afastamento entre elas.

$$E = \frac{d}{d+t}$$

Onde:

E = Eficiência da grade segundo Azevedo Netto

t = Espessura das barras

10 mm

d = Espaçamento entre barras

25 mm

A eficiência assim calculada foi

E = Eficiência da grade segundo Azevedo Netto

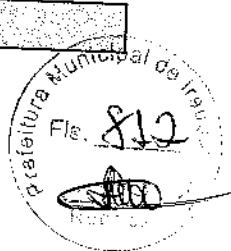
0,71

Maycon Barbosa Leite Tavares  
JOIA BARROS PROJETOS  
Maycon Barbosa Leite Tavares  
Engº Ambiental e Sanitária CREA 345470-CE

#### iv. Cálculo da área da seção do canal da grade

A área da seção do canal da grade pode ser expressa em função da eficiência das grades.

$$A_c = \frac{A_u}{E}$$



Onde:

$A_c$  = Área da seção do canal da grade

$A_u$  = Área útil da grade

$E$  = Eficiência da grade segundo Azevedo Netto

0,095 m<sup>2</sup>

0,714 mm

Desta forma, a seção do canal da grade terá a seguinte área:

$A_c$  = Área da seção do canal da grade

0,133 m<sup>2</sup>

#### v. Cálculo da velocidade no canal de acesso à grade

A velocidade no canal de acesso à grade pode ser expressa pela equação a seguir:

$$V_o = \frac{Q_{\max}}{A_c}$$

Onde:

$V_o$  = Velocidade do fluxo no canal de acesso à grade

$Q_{\max}$  = Vazão máxima affluent

$A_c$  = Área da seção do canal da grade

0,0570 m<sup>3</sup>/s

0,13 m<sup>2</sup>

O resultado assim obtido foi:

$V_o$  = Velocidade do fluxo no canal de acesso à grade

0,43 m/s

## vi. Cálculo do comprimento do canal de acesso à grade

Segundo R. C. Souto (1990), o comprimento do canal de acesso deve ser tal que evite o turbilhonamento junto à grade. Este comprimento é função do tempo de detenção adotado para este canal e da vazão média afluente. Ver equação a seguir:

$$L_g = \frac{t \cdot Q_{med}}{A_c}$$

Onde:

$L_g$  = Comprimento do canal de acesso à grade

$Q_{med}$  = Vazão média afluente

$t$  = tempo de detenção no canal da grade 0,0295 m/s

$A_c$  = Área da seção do canal da grade 3 segundos

0,1330 m<sup>2</sup>

Logo o comprimento do canal é:

$L_g$  = Comprimento do canal de acesso à grade

0,665 m

$L_g A_c$  = Comprimento do canal de acesso à grade Adotado

0,900 m

## vii. Perda de carga na grade

Segundo E. P. Jordão (1995), a determinação da perda de carga na grade de barras deverá considerar o modelo selecionado, o tipo de operação de limpeza, localização e detalhes construtivos. A perda de carga pode ser calculada considerando-se que o comportamento hidráulico é idêntico ao escoamento através de orifício. Ver equação a seguir:

$$h_f = 1,43 \times \frac{V_g^2 - V_o^2}{2g}$$

Onde:

$h_f$  = Perda de carga na grade:

$V_g$  = Velocidade através da grade

0,6 m/s

$V_o$  = Velocidade do fluxo no canal de acesso à grade

0,43 m/s

$g$  = Aceleração da gravidade

9,81 m/s<sup>2</sup>

A perda de carga na grade assim calculada é:

$h_f$  = Perda de carga na grade:

0,01285 m

Como a limpeza da grade vai ser manual foi adotada  $h_f$  mínima de 0,15m.

Manony Ribeiro Bez, Técnico

FDA/ABM/CEP/UFSC/SC

Manony Ribeiro Bez, Técnico

FDA/ABM/CEP/UFSC/SC

